

文章编号: 1004-0609(2003)03-0722-05

管材高温低周疲劳实验方法及数据处理^①

李远睿, 陈琳

(重庆大学 材料科学与工程学院, 重庆 400030)

摘要: 采用径向应变控制法, 在 MTS880/810 试验机上用 $d = 13 \text{ mm} \times 1.5 \text{ mm}$ 的单相 $\alpha\text{-Ti}$ 合金管材, 在 $(350 \pm 1)^\circ\text{C}$ 下进行了 5 个不同应变量的高温低周疲劳(HTLCF)实验; 记录了各自的循环应力—应变滞后环, 得出了试样的循环响应特征和各试样的高温低周疲劳寿命。对实验数据按 Coffin-Manson 公式拟合出疲劳曲线方程, 从而绘出了该试材的 $\Delta\varepsilon - 2N_f$ 倍寿命关系曲线。考虑到低周疲劳数据的离散性, 对其中的 $\Delta\varepsilon = 1.0\%$ 和 $\Delta\varepsilon = 1.5\%$ 两个应变量的各 6 个试验数据按双参数 Weibull 分布进行了统计分析。

关键词: 钛合金; 管材; 高温低周疲劳**中图分类号:** TG 113.25**文献标识码:** A

金属管材通常是在一定温度和应力下服役的结构材料。因而, 直接考核其高温低周疲劳性能, 拟合出它的疲劳曲线, 并对其低周疲劳实验数据进行统计分析, 其结果对管材的抗疲劳设计和工程应用具有重要的意义。本研究探讨了尺寸为 $d = 13 \text{ mm} \times 1.5 \text{ mm}$ 的 $\alpha\text{-Ti}$ 单相钛合金管材的高温低周疲劳实验及实验数据的处理方法。

1 实验

1.1 实验用材

用含有一定量 Al 和 Zr 的 $d = 13 \text{ mm} \times 1.5 \text{ mm}$ 规格的退火单相 $\alpha\text{-Ti}$ 合金管材作实验材料(具体成分略), 其室温和 350°C 下的力学性能见表 1。

表 1 实验材料的力学性能**Table 1** Mechanical properties of titanium alloy tube

| Temperature/ °C | σ_b/MPa | $\sigma_{0.2}/\text{MPa}$ | $\delta/\%$ |
|-----------------|-----------------------|---------------------------|-------------|
| 20 | 655 | 505 | 19 |
| 350 | 350 | 255 | 22 |

1.2 试样

考虑到加热炉高度、两端的夹持长度和露出加热炉两端的距离, 试样总长取 420 mm, 其工作部分用 $d = 138 \text{ mm}$ 的刚玉砂轮在万能工具磨床上磨出一弧形槽, 使试样最薄处外径为 $(12.5 \pm 0.05) \text{ mm}$ (如

图 1)。试样两端约 100 mm 长用铣有 3 条互成 120° 角浅沟槽、且插入端端部倒有光滑圆角的低碳钢圆柱条堵塞后, 用液压夹头垂直紧密夹持。

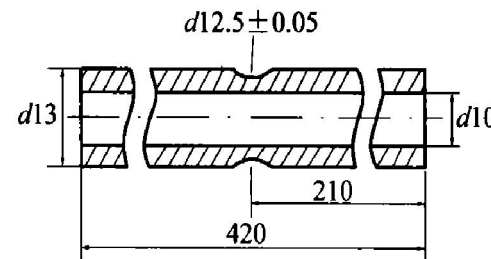


图 1 试样示意图
Fig. 1 Schematic diagram of sample

1.3 实验设备

实验在 MTS880/810 型试验设备上进行, 主要参数为: 载荷精度 $\pm 0.5\%$; 应变精度 $\leq 0.03\%$; 温度精度 $\pm 1^\circ\text{C}$; 非线形 0.3%; 最大载荷 500 kN。

1.4 实验方法

采用轴向拉—压对称载荷, 以径向应变控制换算成轴向应变的方法, 取 $\Delta\varepsilon = 0.5\%, 1\%, 1.5\%, 2.0\%$ 和 2.5% 5 个轴向应变量进行实验。其中, $\Delta\varepsilon = 1.0\%$ 和 1.5% 各作 6 件有效试样, 以对其疲劳寿命数据进行统计分析。实验中其余工作参照 GB/T15248—1994《金属材料轴向等幅低循环疲劳试验方法》进行。

^① 基金项目: 核燃料及材料国家重点实验室基金资助项目(99JS85. 6. 1, JW2004)

作者简介: 李远睿(1946-), 男, 副教授。

通讯联系人: 李远睿, 副教授; 电话: 023-65103625

收稿日期: 2002-10-08; 修订日期: 2003-02-10

2 结果与分析

2.1 应变控制参数

因实验前后试样体积不变, 设原始外径为 d_0 , 内径为 d_1 , 加载时外径变化量为 μ , 则断面收缩率 ψ 可以表示为

$$\begin{aligned}\psi &= \frac{\Delta F}{F_0} = \frac{F - F_0}{F_0} \\ &= \frac{\frac{\pi}{4} \{((d_0 - \mu_r)^2 - d_1^2 \} - (d_0^2 - d_1^2)}{\frac{\pi}{4} (d_0^2 - d_1^2)} \\ &= \frac{(d_0 - \mu_r)^2 - d_1^2}{(d_0^2 - d_1^2)}\end{aligned}\quad (1)$$

式中 F —实验后试样最小直径处截面积; F_0 —实验前试样最小直径处截面积。

又设轴向应变为 ε , 则

$$\varepsilon = \frac{\Delta l}{l_0} \quad (2)$$

$$\begin{aligned}FL &= [F_0 + (F - F_0)](L_0 + \Delta L) \\ &= (F_0 + \Delta F)(L_0 + \Delta L) \\ &= F_0 L_0 (1 + \psi)(1 + \varepsilon) \\ &= F_0 L_0 (\text{体积不变})\end{aligned}\quad (3)$$

$$(1 + \psi)(1 + \varepsilon) = 1 \quad (4)$$

$$\varepsilon = -\frac{\psi}{1 + \psi} = \frac{d_0^2 - (d_0 - \mu_r)^2}{(d_0 - \mu_r)^2 - d_1^2} \quad (5)$$

整理后得

$$\mu_r = d_0 - \sqrt{\frac{d_0^2 + \varepsilon d_1^2}{1 + \varepsilon}} \quad (6)$$

将 $d_0 = 12.5 \text{ mm}$, $d_1 = 10 \text{ mm}$ 代入(6)式, 有

$$\mu_r = 12.5 - \sqrt{\frac{156.25 + 100\varepsilon}{1 + \varepsilon}} \quad (7)$$

于是, 给定一个轴向应变量, 用(7)式算出对应的 μ_r , 可得到各对应的径向应变控制参数 μ 。

2.2 循环应力—应变滞后环

图 2 和图 3 所示分别是 $\Delta\varepsilon_i = 1.0\%$ 和 1.5% 时, 在 $(350 \pm 1)^\circ\text{C}$ 下进行 LCF 疲劳试验时记录下的稳定后的循环应力—应变滞后环。可以看出, 应变量大者, 其滞后环回线变宽, 面积增大。表明每次循环所做的塑性功或能量损失随应变量增加而增大^[1]。

2.3 HTLCF 寿命

实验获得的有效高温低周疲劳 (HTLCF) 寿命数据列于表 2。实验时, 每件样品的实际轴向应变

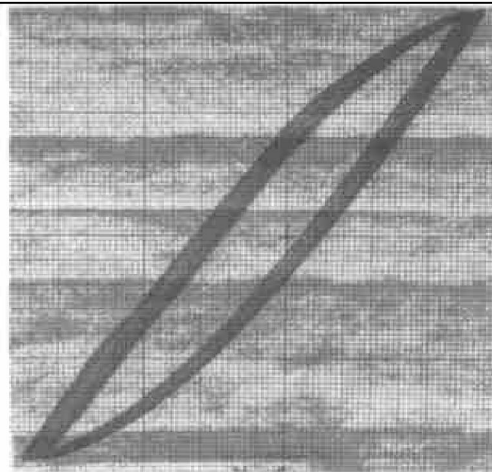


图 2 $\Delta\varepsilon_i = 1.0\%$ 时的循环应力—应变滞后环

Fig. 2 Stress—strain hysteresis loop
at $\Delta\varepsilon_i = 1.0\%$

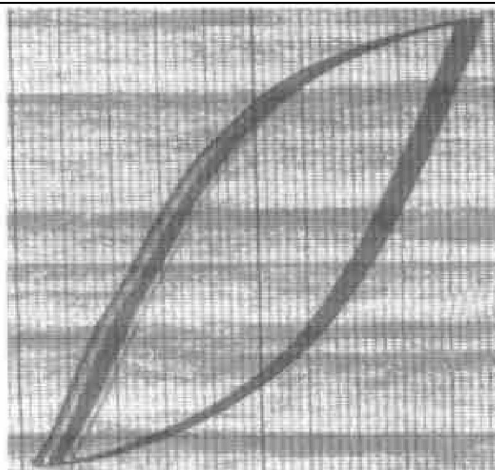


图 3 $\Delta\varepsilon_i = 1.5\%$ 时的循环应力—应变滞后环

Fig. 3 Stress—strain hysteresis loop
at $\Delta\varepsilon_i = 1.5\%$

量 ε 较表中轴向应变量均有微小差异, 其差值控制在 $\leq 0.02\%$ 范围之内。因为, 每一试样的径向变量 μ 在实验时不可能与表中的计算值完全一致。

2.4 循环应力—应变曲线

实验中控制的总应变幅由塑性应变幅 $\Delta\varepsilon_{pa}/2$ 和弹性应变幅 $\Delta\varepsilon_{ea}/2$ 两部分组成^[2], 即

$$\frac{\Delta\varepsilon}{2} = (\Delta\varepsilon_{pa} + \Delta\varepsilon_{ea})/2 \quad (8)$$

对有效试样的应力—应变滞后环进行处理(取两者算术平均值), 分离出其中的塑性应变幅作为横坐标, 以半寿命为标准得到的应力幅为纵坐标, 绘制出该种管材的循环应力—应变曲线(即 CSS 曲线)如图 4 所示, 该图表明试材有循环硬化作用。

对此曲线按 $\sigma_a = k' \varepsilon_{pa}'^{1/3}$ ^[3] 关系进行拟合, 得到该管材 HTLCF 的循环硬化系数和指数分别为: $k' =$

表2 α -Ti合金管材的HTLCF寿命Table 2 HTLCF life of $d=13\text{ mm} \times 1.5\text{ mm}$

| α -Ti alloy tube | | | |
|-------------------------|--------------|--------------------|-------------|
| No. | μ_r | $\varepsilon / \%$ | Cycle times |
| 3 | ± 0.0056 | 0.50 | 16 100 |
| 4 | | | 10 899 |
| 7 | | | 4 933 |
| 10 | [0.0112, | 1.00 | 7 540 |
| 12 | -0.0113] | | 4 958 |
| 16 | | | 5 104 |
| 19 | | | 5 215 |
| 21 | | | 1 054 |
| 24 | | | 3 733 |
| 25 | [0.0168, | 1.50 | 1 090 |
| 28 | -0.0170] | | 2 320 |
| 31 | | | 1 145 |
| 34 | | | 2 979 |
| 36 | [0.0223, | 2.00 | 900 |
| 39 | -0.0227] | | |
| | [0.0278, | 2.50 | 507 |
| | -0.0284] | | |

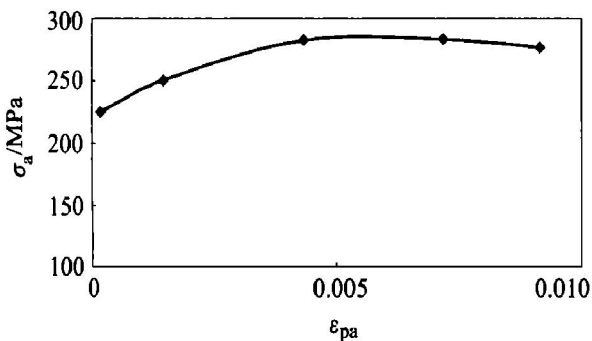


图4 循环应力-应变曲线

Fig. 4 Cycle stress-strain curve

376.53, $n' = 0.0594$ 。试样在350℃下 $\sigma_b/\sigma_{0.2}$ 为1.37(接近1.4), 介于循环稳定与循环硬化之间, 这与实验中呈现出的循环稳定但有轻微循环硬化现象一致, 也与图2及图3反映出的情况完全吻合^[4]。它们反映了材料在承受低周疲劳时的稳定应力和应变的响应特征^[5]。

2.5 拟合HTLCF曲线

由(8)式可得: $\Delta\varepsilon_t/2 = (\Delta\varepsilon_{pa} + \Delta\varepsilon_{ea})/2$, 而总应变幅 $\Delta\varepsilon/2$ 与断裂寿命 N_f 之间应符合Coffin-Manson^[6]关系:

$$\frac{\Delta\varepsilon}{2} = \frac{\sigma'_f}{E_{350\text{ }^\circ\text{C}}} (2N_f)^b + \varepsilon'_f (2N_f)^c \quad (9)$$

式中 σ'_f —断裂时的真应力; $E_{350\text{ }^\circ\text{C}}$ —350℃时的弹

性模量; ε'_f —断裂时的延伸率; b —疲劳强度指数; c —疲劳塑性指数。

式(9)右边第一项为 ε_{ea} , 第二项为 ε_{pa} 。将5个应变量下的弹性和塑性应变幅(ε_{ea} 与 ε_{pa})与倍寿命($2N_f$)在双对数坐标上绘制出图5, 再用最小二乘法对数据进行线性回归(结果见表3), 由此可拟合出直线方程。这样就得到了此种试材在350℃下的HTLCF的拟合曲线方程:

$$\frac{\Delta\varepsilon}{2} = 0.0097 (2N_f)^{-0.1278} + 0.2312 (2N_f)^{-0.4633} \quad (10)$$

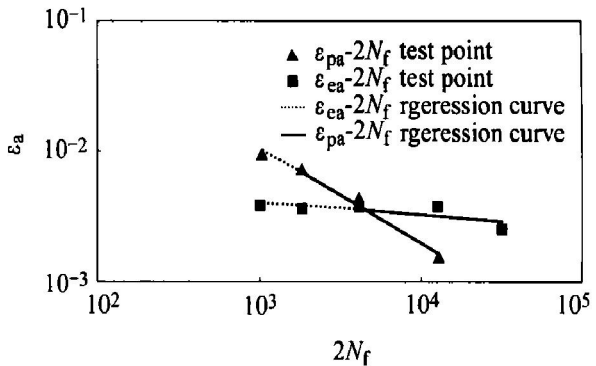


图5 倍寿命与弹性及塑性应变幅的关系

Fig. 5 Relationship between double-life and elastic strain (plastic strain) amplitude

表3 高温低周疲劳曲线参数

Table 3 Curve parameters of high temperature low cycle fatigue

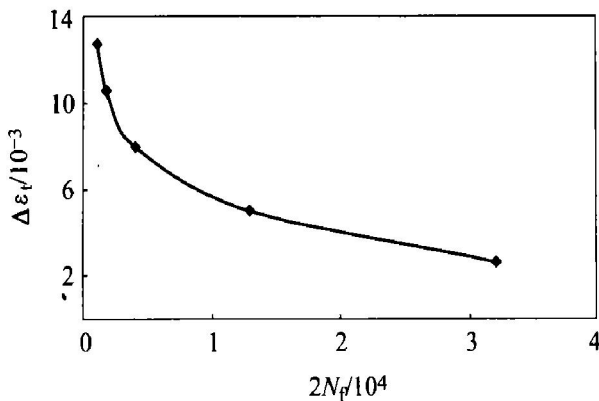
| ε'_f | c | σ'_f | b |
|------------------|---------|-------------|---------|
| 0.2312 | -0.4633 | 0.0097 | -0.1278 |

这表明, 图5的结果很好地满足了Coffin-Manson关系。

另外, 可以作出倍寿命 $2N_f$ 与总应变幅($\Delta\varepsilon$)的关系曲线如图6所示, 它是由 $\Delta\varepsilon_{ea}-N$ 和 $\Delta\varepsilon_{pa}-N$ 两者合成的。当应变较小时, 以弹性应变为主; 而应变较大时, 以塑性应变为主。而塑性应变量的大小决定了材料的低周疲劳寿命^[7]。

2.6 统计分析

考虑到低周疲劳寿命本身离散度较大, 而管材长度与直径的比值为17左右, 远大于2; 漏斗形试样在试验时的平面应力状态等原因, 会使低周疲劳寿命数据的离散性相对标准试样增大^[8]。通常寿命分布曲线不符合正态分布, 但在很多情况下寿命分布对数曲线非常接近正态分布^[9]。Weibull^[10]提出了一种寿命分布函数, 它与实验数据的一致性可能

图 6 $\Delta\epsilon_f - 2N_f$ 关系曲线Fig. 6 $\Delta\epsilon_f - 2N_f$ curve

要比对数正态分布好^[11]。采用双参数 Weibull 分布函数进行统计分析, 为准确反映该种试材的低周疲劳寿命, 将疲劳寿命作为随机变量, 其中参数估计用最佳线形不变估计法。双参数 Weibull 分布函数为

$$P(N)_s = 1 - \exp[-(\frac{N}{V_s})^b] \quad (11)$$

式中 $P(N)_s$ —在某一应变量下, 低周疲劳循环数为 N 时的失效概率, %; N —低周疲劳寿命, 次; V_s —Weibull 分布函数的尺寸参数, 代表失效概率为 63.2% 时母体的特征寿命, 次; b —Weibull 分布数的斜率参数, 表示低周疲劳寿命的离散程度。

式(11)的对数形式为

$$\begin{aligned} &\lg[\ln(1/(1-P(N)_s))] \\ &= b(\lg N - \lg V_s) - 0.3622 \end{aligned} \quad (12)$$

由数据处理, 对 Weibull 分布的两个参数 V_s 和 b 进行估计, 据此确定母体的 LCF 寿命。母体的子容量为 6, 经完全失效实验后得到的实际寿命为

$$N_1 \leq N_2 \leq N_3 \leq N_4 \leq N_5 \leq N_6$$

采用最佳线形不变估计法对 V_s 和 b 进行估计:

$$b = [\sum_{i=1}^6 C_1(6, 6, i) \ln N_i]^{-1} \quad (13)$$

$$\ln V_s = \sum_{i=1}^6 D_1(6, 6, i) \ln N_i \quad (14)$$

式中 $C_1(6, 6, i)$ 和 $D_1(6, 6, i)$ 为最佳线形不变估计法的参数, 由文献[12] 中的附表查出。

据 V_s 和 b 值, 按下式计算 LCF 寿命:

$$\begin{aligned} N_{10} &= V_s (0.10536)^{1/b}; \\ N_{50} &= V_s (0.69315)^{1/b} \end{aligned} \quad (15)$$

式中 N_{10} 为母体的额定寿命, 即失效概率为 10% 的低周疲劳寿命; N_{50} 为母体的中值寿命, 即失效概率为 50% 的低周疲劳寿命。

这样, 将 LCF 寿命与失效概率联系起来, 对克

服数据的分散性和材料的工程应用均具有重要意义。

选取 $\Delta\epsilon_f = 1.0\%$ 和 $\Delta\epsilon_f = 1.5\%$ 两个应变量的各 6 个实验数据进行统计分析(情况如表 4), 结果如表 5 所列。

表 4 $\Delta\epsilon_f = 1.0\%$ 和 1.5% 试样的
高温低周疲劳寿命的统计分析

Table 4 Statistical analysis of high temperature low cycle fatigue life at $\Delta\epsilon_f = 1.0\%$ and 1.5%

| No. | $\Delta\epsilon_f = 1.0\%$ | | $\Delta\epsilon_f = 1.5\%$ | |
|-----|----------------------------|-----------|----------------------------|----------|
| | N_f | $P(N)_s$ | N_f | $P(N)_s$ |
| 7 | 4 933 | 0.257 075 | 21 | 1 054 |
| 12 | 4 958 | 0.260 506 | 25 | 1 090 |
| 16 | 5 104 | 0.280 928 | 31 | 1 145 |
| 19 | 5 215 | 0.296 874 | 28 | 2 320 |
| 10 | 7 540 | 0.662 915 | 34 | 2 979 |
| 4 | 10 899 | 0.965 058 | 24 | 3 733 |

表 5 HTLCF 寿命统计分析结果

Table 5 Result of statistical analysis on high temperature low cycle fatigue life

| $\Delta\epsilon_f / \%$ | N_{10} | N_{50} | V_s | b |
|-------------------------|----------|----------|-------|----------|
| 1.0 | 3 514 | 6 507 | 7 336 | 3.057 67 |
| 1.5 | 825 | 2 043 | 2 438 | 2.077 25 |

再作出此两个应变量下的 LCF 失效概率曲线如图 7 所示, 表明实验结果符合 Weibull 分布。

据图 7 可得到在任意失效概率下该种试材的低周疲劳寿命, 从而为其抗疲劳设计和工程应用提供依据。

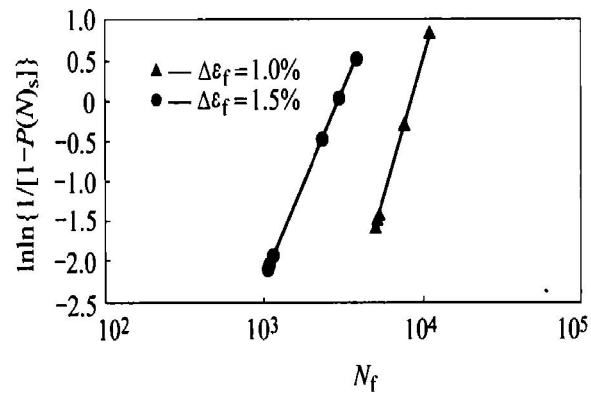
图 7 $\Delta\epsilon_f = 1.0\%$ 和 1.5% 下的 LCF 失效概率

Fig. 7 Low cycle fatigue failure probability distribution of $\Delta\epsilon_f = 1.0\%$ and 1.5%

REFERENCES

- [1] 束德林. 金属力学性能[M]. 北京: 机械工业出版社,

1995. 150 - 152.
- SHU De lin. Mechanical Properties of Metals [M]. Beijing: Mechanical Industry Press, 1995. 150 - 152.
- [2] Lin C K, Chu C C. Mean stress effects on low-cycle fatigue for a precipitation hardening martensitic stainless steel in different tempers [J]. Fatigue Fract Mater Struct, 2000, 23(7): 545 - 554.
- [3] Li D M, Nam W J, Lee C S. A strain energy-based approach to the low-cycle fatigue damage mechanism in a high strength spring steel [J]. Metall Mater Trans A, 1998, A29: 1431 - 1440.
- [4] 胡耀君, 马红征, 刘梁宗, 等. Tr31 合金循环变形特性研究 [J]. 稀有金属材料与工程, 1998(6): 139 - 140.
HU Yaorjun, MA Hongzhen, LIU Liangzhong, et al. Cyclic deformation characteristic of Tr31 alloy [J]. Rare Metal Materials and Engineering, 1998(6): 139 - 140.
- [5] Tan X, Gu H, Laird C, et al. Cyclic deformation behavior of high-purity titanium single crystals: part I. Orientation dependence of stress strain response [J]. Metall Mater Trans A, 1998, A29: 507 - 512.
- [6] Lee B H, Lee S B. Stochastic modelling of low-cycle fatigue damage in 316L stainless steel under variable multiaxial loading [J]. Fatigue Fract Mater Struct, 2000, 23(12): 1007 - 1018.
- [7] Mughrabi H. On the life-controlling microstructural fatigue mechanisms in ductile metals and alloys in the gigacycle regime [J]. Fatigue Fract Mater Struct, 1999, 22(7): 634 - 635.
- [8] 王栓柱. 金属疲劳 [M]. 福州: 福建科学技术出版社, 1986. 451 - 453.
WANG Quanzhu. Fatigue of Metals [M]. Fuzhou: Fujian Science and Technology Press, 1986. 451 - 453.
- [9] 高镇同, 熊峻江. 疲劳可靠性 [M]. 北京: 北京航空航天大学出版社, 2000. 51 - 74.
GAO Zhen Tong, XIONG Jun jiang. Fatigue Reliability [M]. Beijing: Beijing University of Aeronautics and Astronautics Press, 2000. 51 - 74.
- [10] 居滋培. 可靠性工程 [M]. 北京: 原子能出版社, 2000. 114 - 115.
JU Zipei. Reliability Engineering [M]. Beijing: Atomic Energy Press, 2000. 114 - 115.
- [11] 弗罗斯特 N E, 马什 K J, 普克 L P. 金属疲劳 [M]. 汪一麟, 邵本述译. 北京: 冶金工业出版社, 1984. 472 - 474.
Floste N E, Math K J, Puok L P. Fatigue of Metals [M]. WANG Yilin, SHA Benqiu transl. Beijing: Metallurgical Industry Press, 1984. 472 - 474.
- [12] 林少宫. 基础概率与数理统计 [M]. 北京: 机械工业出版社, 1964. 212.
LIN Shaogong. Fundamental Probability and Mathematical Statistics [M]. Beijing: Mechanical Industry Press, 1964. 212.

Experimental procedure and data processing of pipe material for high temperature low cycle fatigue

LI Yuanrui, CHEN Lin

(College of Material Science and Engineering, Chongqing University, Chongqing 400030, China)

Abstract: The high temperature low cycle fatigue (HTLCF) of $d=13\text{ mm} \times 1.5\text{ mm}$ single phase α -Ti alloy pipe materials was tested with five different strain parameters at $(350 \pm 1)\text{ }^{\circ}\text{C}$ on the test equipment of MTS 880/810, by the method of radial strain control. The individual cycle-strain hysteresis loops were recorded, and the cycling response and high temperature low cycle fatigue life were obtained. The experimental data were treated as fatigue curve formula according to Coffin-Manson formula, then the fatigue life curve $\Delta\varepsilon_i=2N_f$ of tested materials was drawn. In consideration of the scatter of low cycle fatigue data, statistical analysis was applied to the six experimental data of two strain parameters $\Delta\varepsilon_i=1.0\%$ and $\Delta\varepsilon_i=1.5\%$ based on dual parameters Weibull distribution.

Key words: titanium alloy; pipe specimens; high temperature low cycle fatigue

(编辑 袁赛前)